

討25

669.245.018.44: 539.434: 621.785.019: 669.784: 620.193.56
弱酸化性ガス中での熱交換器用耐熱合金のクリープ強さと脱炭速度

石川島播磨重工業(株)

○ 美野和明

山林義和

技術研究所

大友 晓

雜賀善郎

1 緒言

耐熱合金のクリープ強さが弱酸化性ガス中で大気中と比べて低下するという問題は高温ヘリウム熱交換器用構造材料の研究において重要なテーマになっている。弱酸化性ガス中の異常な脱炭現象が強度低下の要因の一つとして、重要視されているが、実例は Inconel 617 に限られること、十分ではない。また、このような弱酸化性ガス中の脱炭現象については合金の化学組成および試験雰囲気の酸化性によって脱炭速度が変わるといわれているが、十分に理解されていない。著者らは Inconel 617 で認められた脱炭に伴うクリープ強さの低下が他の合金でもおこるかを知るために、Hastelloy X および国産の開発合金である SSS 113M を試験材として選び、不純物（主に酸素）を含むヘリウム中および真空中でクリープ試験を行った。本報告ではまず、クリープ試験の結果を示す。さらに、この結果と関連して行った不純ヘリウム中および真空中での表 1 に示す 4 合金の加熱実験が興味深い 2~3 の事実が観察されたので報告する。なお、表 1 の中で Mod. IN 617 は市販の Inconel 617 から Al, Ti を除いたものである。

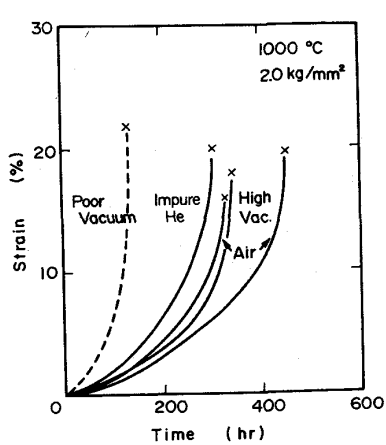
2 弱酸化性雰囲気中のクリープ強さの低下 — 脱炭を伴うケース

化学組成が表 1 に示された Hastelloy X および SSS 113M を大気中、真空中および市販のヘリウムガス（99.995% 純度）中でクリープ試験して得た結果を図 1 に示す。大気中と比べ、クリープ曲線が破線で示された雰囲気中ではクリープ強さが低下している。実線で示した雰囲気中では脱炭は無視できるのにに対して、破線の雰囲気中ではいずれも顕著な脱炭現象が認められており、クリープ強さの低下と脱炭の間に良い相関が見られる。

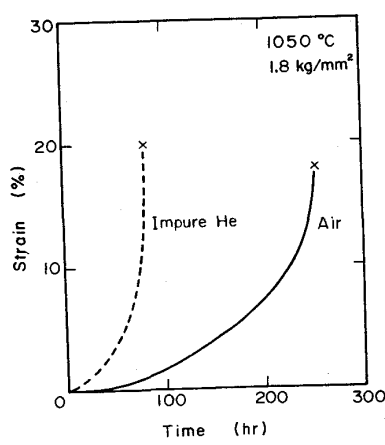
図 2 は市販の不純ヘリウム中

表 1. 試験材の化学組成 (wt %)

Alloy	C	Si	Mn	Al	Ti	Cr	Co	Mo	W	Fe	Ni
Inconel 617	0.069	0.19	0.05	0.72	0.57	20.31	11.71	8.64	-	1.02	Bal.
Mod. IN 617	0.058	0.12	0.03	tr	tr	21.63	12.69	9.20	-	-	Bal.
Hastelloy X	0.07	0.35	0.84	tr	tr	22.09	0.08	9.08	0.46	18.17	Bal.
SSS 113M	0.045	0.01	0.00	-	0.36	21.90	-	-	17.87	0.27	Bal.



(i) Hastelloy X



(ii) SSS 113M

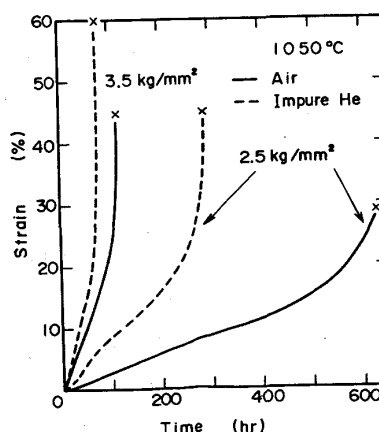


図 1 大気中と弱酸化性雰囲気中のクリープ曲線の比較 (破線で示すものは脱炭が認められた)

でのクリープ強度の低下を Inconel 617 と Hastelloy X について示したものである。Inconel 617 は 900 °C 以上で脱炭が起り、1000 °C では著しい。一方同じ雰囲気でも Hastelloy X では 1000 °C で脱炭が観察されず、1050 °C で脱炭が認められた。大気中データの一部は破断時間で 2 倍のばらつきがあるが、統計的に判断すると脱炭に伴って 1050 °C での破断時間は $\frac{1}{3}$ ～ $\frac{1}{2}$ に低下している。

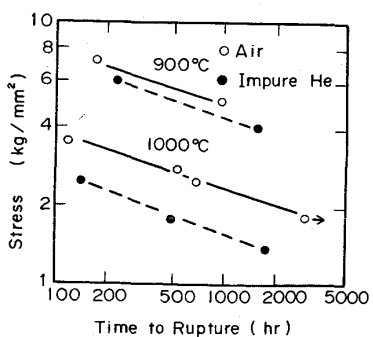
これらの結果は弱酸化性雰囲気中の異常脱炭が本実験合金のすべてにおいてクリープ強度の低下要因となることを示すものである。

3 弱酸化性雰囲気中の高温加熱による脱炭

3.1 不純ヘリウムガス中の加熱。

表 1 で示した 4 合金の棒状試験片 ($6 \times 15 \text{ mm}^2$) を市販の 99.995% 純度（酸化性の不純物が ppm 数 PPM の O_2 , H_2O , CO_2 を含む）のヘリウム中および大気中で加熱し、微細な炭化物が脱炭のために認められない領域の深さを計測した。表 2 に粗大な炭化物の残留を無視して計測した結果を示す。クリープ試験と同様、1000 °C へリウム中で Hastelloy X は脱炭せず、Inconel 617 は脱炭している。酸化ボテンシャルをやや高くするため、排気試験でリークが認められる試験機を用いて加熱すると、表 2 に示すように、加熱時間が 20 hr では同様の傾向を示すが、200 hr ではすべての合金で大気中と比べて著しい脱炭が認められる。従って、合金間の脱炭速度の差を例えば合金中の炭素活量、炭化物の種類だけでは説明できない。

写真 1 は 20 hr 加熱の場合について酸化層と脱炭のようすを示したものである。SSS113M は他の合金より酸化膜が厚く、はく離された部分も少ない。酸化膜と脱炭に対する保護膜と考えると、SSS113M が他の合金より脱炭速度が小さい理由を酸化膜の厚さで説明できる。(しかし Hastelloy X は Mod. IN 617 と比べ、表



(i) Inconel 617

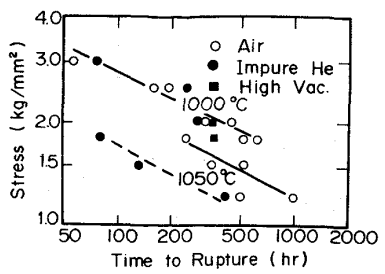


図 2. 市販の 99.995% ヘリウムガス中の脱炭に伴って起るクリープ強度の低下

表 2. 1000 °C の不純ヘリウムガス中における大気中の加熱で生じた脱炭領域の深さ

Atmosphere	Temperature	Depth of Carbide Penetration (mm)			
		Inconel 617	Mod. IN 617	Hastelloy X	SSS 113M
99.995% He	200	1	1.0	~	~
99.995% He	200	0.3	0.4	~	~
with water	200	0.8	1.2	0.6	0.3
Air	200	0.00	0.07	0.07	0.06

* 粗大炭化物は除く

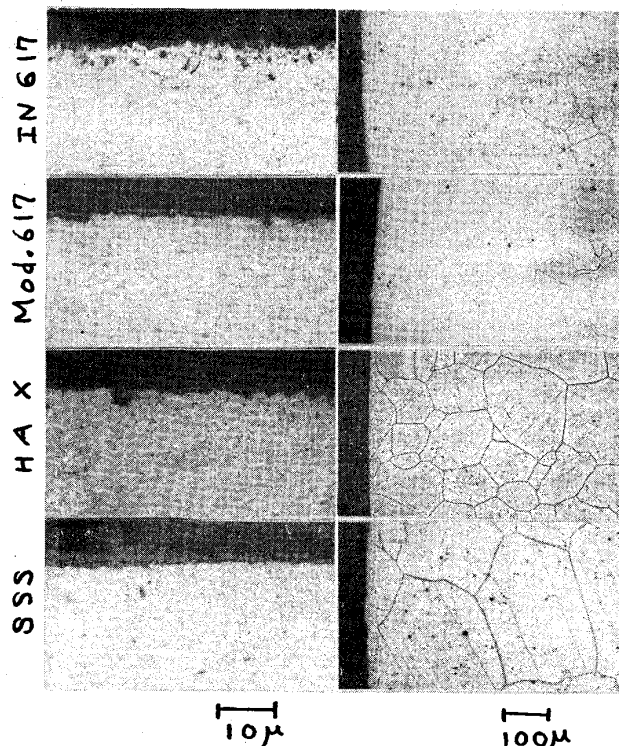


写真 1. 1000 °C の不純ヘリウムガス中で 20 hr 加熱した試料の酸化層と脱炭のようす (リークのある試験機で加熱)

面の酸化色とともに緑色で、酸化膜の厚さに差が見られず、脱炭速度が低い理由を説明できない。図3は同じ不純ヘリウムガス雰囲気で200hr 加熱した試料の酸化層をX線マイクロアナライザーで分析した結果である。なお、Hastelloy Xの酸化層で図3に示した以外にMnの偏析があつたほかは、他の元素の外部酸化層への偏析は特に認められなかつたので図では示さなかった。SSS 113Mの酸化層が厚いのはCrのほかに外部酸化層の形成元素であるTiが含まれているためであろう。Inconel 617もTiを含むが内部酸化を起すAlを含んでいるためかTiの効果は認められない。

写真2は Hastelloy X につけた脱炭が認められた試料(リーフを伴う試験機中で加熱)と脱炭しなかつた試料の表面近傍の組織を比較したものである。脱炭(なかつた試料)で酸化層と合金の界面に炭化物の偏析がある以外は顕著な差が認められず。X線マイクロアナライザーで酸化層の元素分析を行つたが、脱炭試料がCr, Mnの酸化膜がやや厚いというほかは何ら差が見出せなかつた。

3.2 連續的に真空排気した雰囲気中での加熱

油抜散およびメカニカルポンプを備えた排気装置を用いて、1050°Cの真空中で200hr加熱し、3.1と同様に脱炭領域の深さを測定した。表3に示す

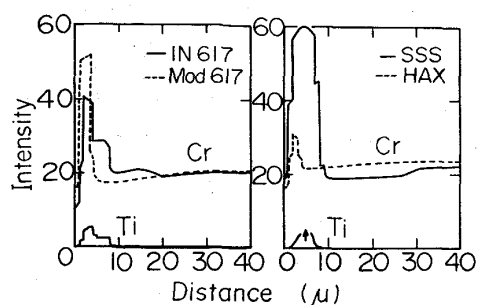


図3. X線マイクロアナライザによる酸化層の分析
1000°Cの不純ヘリウムガス中で200hr加熱

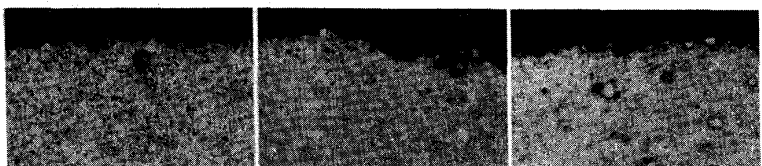


写真2. Hastelloy Xの脱炭試料と非脱炭試料における酸化層の比較(左側は真中のエッジング後の組織)

3.2 連続的に真空排気した雰囲気中での加熱

油抜散およびメカニカルポンプを備えた排気装置を用いて、1050°Cの真空中で200hr加熱し、3.1と同様に脱炭領域の深さを測定した。表3に示す

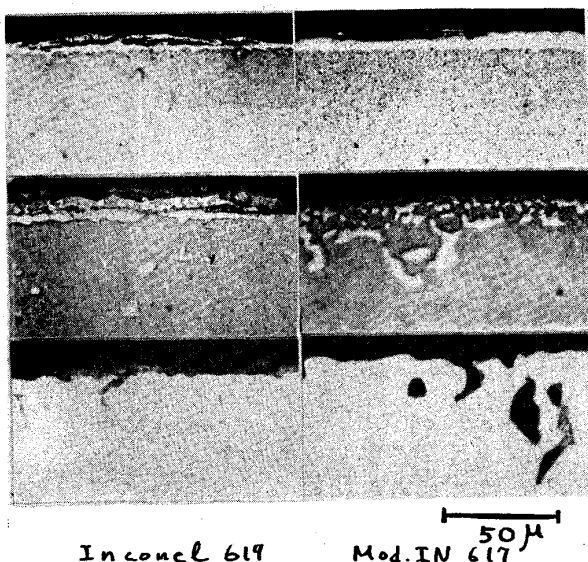


写真3 1050°Cの真空中で200hr加熱後の脱炭領域の深さ(排気系は上から下の順にそれがれ、D4F, F, 1-7の着(1) D&F)

表3 1050°Cの真空中で加熱した場合の脱炭領域の深さ(200hr)

Evacuation System (Oil Diff. Pump (Mech. pump))	Depth of Carbide Selection (μ)			
	Inconel 617	Hastelloy SSS 113M 617	IN 617	Mod. IN 617
Diff. Pump, 2×10^{-5} Torr	>0	>0	-	-
Pump, 1×10^{-3} Torr	>0	23	0.5	2
Pump with Leaking 1×10^{-3} Torr	>3	0.5	0.7	2.5

ように、油抜散ポンプを用いた 2×10^{-5} Torrの高真空中では脱炭が起こらないが、メカニカルポンプだけを用いた 1×10^{-3} Torrの真空中ではInconel 617を除いてすべて脱炭している。また、リーフである系で加熱した場合は、4合金すべてにおいて脱炭が認められている。これらの実験結果のうち主とて对照的な挙動が見られた、Inconel 617およびAl, Tiを除いたMod. IN 617を比較しながら検討する。

写真3に Inconel 617と Mod. IN 617 の表面近傍の写真を示す。Inconel 617の試料表面をX線回析した結果、 2×10^{-5} Torrの真空中加熱したM23C6、 1×10^{-3} TorrではM6Cが観察された。したがって、写真3に見られる表面近傍の白色の層や塊状のものは炭化物である。

きる。 1×10^{-3} Torr の真空中で脱炭が認められた Hastelloy X および SSS 113M でも Mod. IN 617 と同様に白い塊状のもの（炭化物）が観察された。1 mm オーダーの脱炭が起こっているのに、表面近傍に多数の粗大炭化物が存在している理由は明らかでない。 2×10^{-5} Torr の真空中加熱材および 1×10^{-3} Torr の真空中で加熱した Inconel 617 では層状の炭化物が見られ、浸炭正在进行するがわかる。排気装置に使われている油がその源と考える。リードが著しい真空中では、表面近傍でのこのような炭化物の存在は認められない。Inconel 617 では表面酸化物以外に内部酸化物、他の合金のうち特に Mod. IN 617 および Hastelloy X では表面近傍に多数の空洞が見られた。

メカニカルポンプによる 1×10^{-3} Torr の真空中で Inconel 617 脱炭が全く見られず、Al, Ti を除いた Mod. IN 617 では 3 mm 以上の深さまで脱炭している。両合金は Al, Ti の含有量以外に有意差がないことから、Inconel 617 は Al, Ti により脱炭が阻止されていると考える。図 4 に示す X 線マイクロアナライザーによる観察でも事実、表面近傍で Al, Ti の酸化物によると思われるピークが認められる。一方 Mod. IN 617 では酸化物によるピークが全く見られず走査電顕による観察でも表面に酸化物は認められない。Al, Ti が脱炭を阻止する機構は明らかでないが、Al, Ti 酸化物を不純ヘリウム中の場合で考えたような Cr 酸化物による保護膜の代替として考えられる。また、Ti のみを含む SSS 113M では Ti 酸化物によるピークが認められず著しく脱炭しており Ti だけでは脱炭を阻止に有効でない。リードが著しい真空中で加熱した場合、Al および Ti を含まない Mod. IN 617 および Hastelloy X では粒界に空洞が生じ表面近傍に脱クロム層が見られており、顯著な Cr の酸化が起つほど推定される。これらの合金が他の合金より脱炭が少ないのは表面近傍での合金組成の変化によると思われるが明らかなではない。

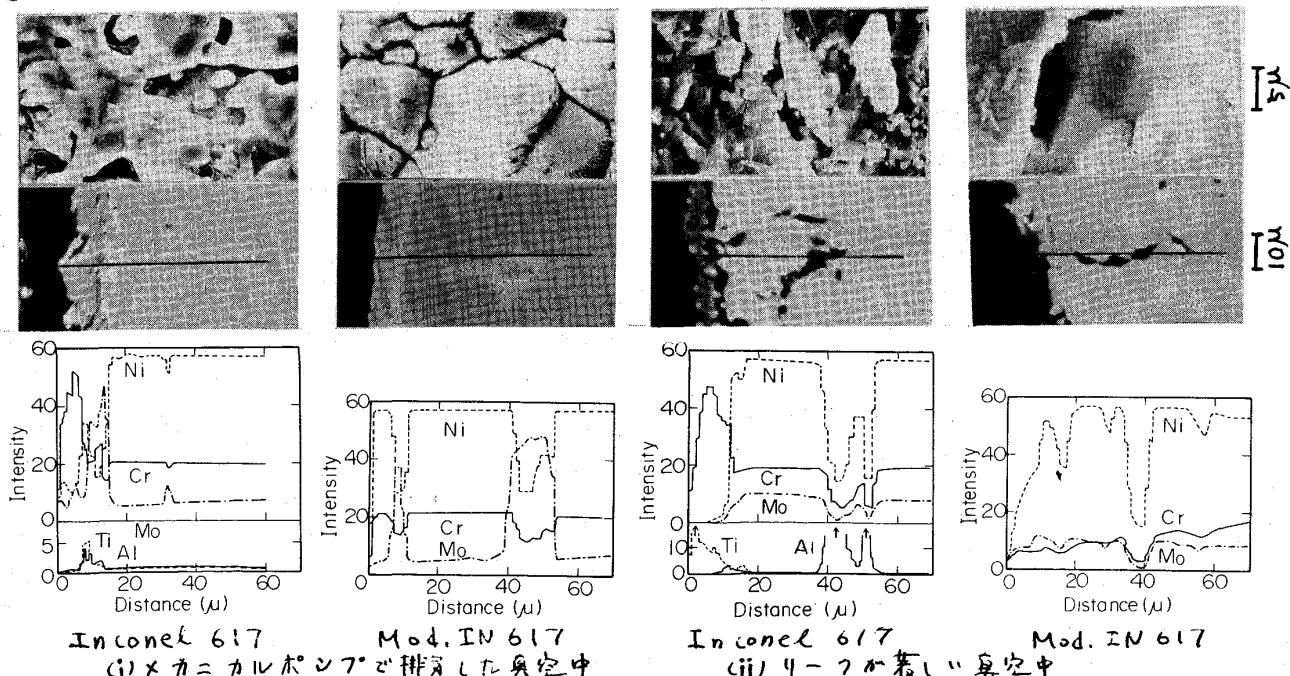


図 4. 真空中加熱材の走査電顕および X 線マイクロアナライザーによる観察

4. 結言

弱酸性雰囲気中の異常脱炭現象がクリープ強度の低下原因になることを 3 種類の Ni 基耐熱合金で示し、その重要性を確認した。さらに、種々の雰囲気中の脱炭速度におよぼす Al, Ti の影響に関するこれまでの知見を得た。脱炭速度と合金の化学組成の関係をより明確にする研究が今後、望まれる。最後に、これらの合金を提供された日立金属(株)の渡辺力蔵氏に感謝します。